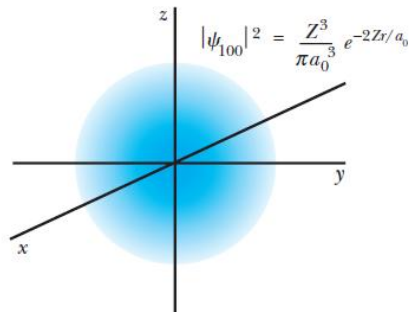
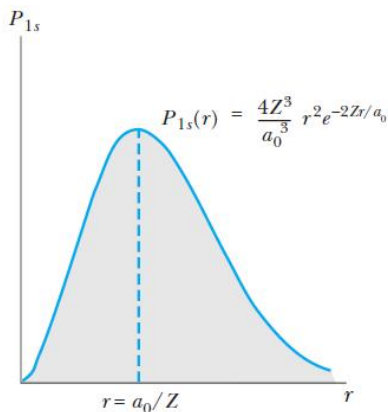


Na última aula vimos:

- Número quântico de *spin* (elétron): $\begin{cases} m_s = +1/2 \\ m_s = -1/2 \end{cases}$
- No átomo de hidrogênio, a probabilidade de se encontrar o elétron em uma casca esférica de raio r e espessura dr será:

$$P(r)dr = |\psi|^2 dV = |\psi|^2 4\pi r^2 dr \Rightarrow \boxed{P(r) = 4\pi r^2 |\psi|^2}$$

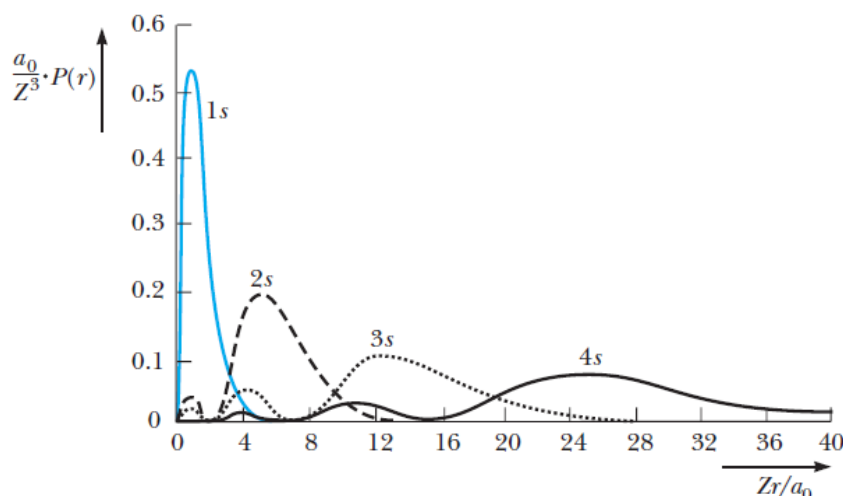


- No estado fundamental (nível $1s$) tem-se: $P_{1s}(r) = \left(\frac{4r^2}{a_0^3}\right) e^{-2r/a_0}$
- Percebemos, então, que não tem muito sentido em falar sobre o “tamanho” do átomo: a posição do elétron em relação ao núcleo é dada pela “nuvem de probabilidades” correspondente ao estado em que ele se encontra.

- Agora, quando o átomo de hidrogênio no estado fundamental é excitado para um nível de energia acima ($n = 2 \Rightarrow E_2 = \frac{-13,6}{2^2} = -3,4eV$, por exemplo), se ele estiver no sub-nível correspondente a $\underline{l=0}$ (estado $2s$), a função de onda correspondente novamente só irá depender da coordenada radial r , e a distribuição de probabilidades será esférica.

$$\underline{\psi_{2s} = \psi_{2s}(r) = \frac{1}{4\sqrt{2}\pi} \left(\frac{1}{a_0}\right)^{3/2} \left(2 - \frac{r}{a_0}\right) e^{-\frac{r}{2a_0}}}$$

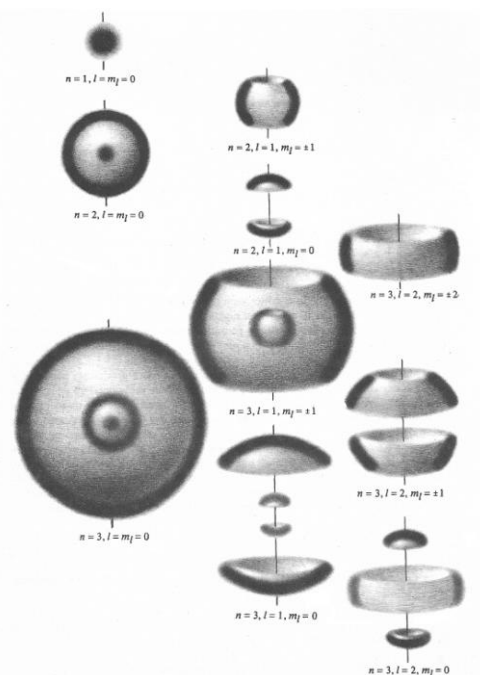
- Na figura abaixo, esta e outras distribuições esféricas de probabilidades (de se encontrar o elétron mais próximo ou mais afastado do núcleo) são mostradas (todas correspondentes a valores de $l = 0$).



- Porém quando $l \neq 0$ então também haverá uma dependência das funções de onda ψ_{nlm_l} com as *coordenadas angulares* θ e ϕ , resultando um *caráter direcional* das “nuvens de probabilidade”, que serão as responsáveis pelas ligações químicas (veja a figura ao lado).

- Por exemplo, para $n = 2$ as autofunções (ψ_{nlm_l}) correspondentes (para átomos hidrogenóides) são:

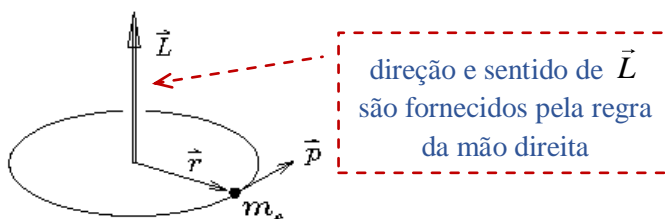
$$\begin{cases} \psi_{200} = \frac{1}{4\sqrt{2\pi}} \left(\frac{Z}{a_0}\right)^{3/2} \left(2 - \frac{Zr}{a_0}\right) e^{-\frac{Zr}{2a_0}} \\ \psi_{210} = \frac{1}{4\sqrt{2\pi}} \left(\frac{Z}{a_0}\right)^{3/2} \frac{Zr}{a_0} e^{-\frac{Zr}{2a_0}} \cos \theta \\ \psi_{21\pm 1} = \frac{1}{8\sqrt{\pi}} \left(\frac{Z}{a_0}\right)^{3/2} \frac{Zr}{a_0} e^{-\frac{Zr}{2a_0}} \sin \theta e^{\pm i\phi} \end{cases}$$



- Vamos agora discutir quais seriam as grandes físicas relacionadas com os números quânticos.

- O *número quântico orbital (azimutal) l*, por exemplo, está intrinsecamente relacionado com o Momento Angular do elétron em relação ao núcleo atômico ($|\vec{L}| = |\vec{r} \times \vec{p}| = mvr$).

- Visualização clássica:



➤ Quando a equação de Schrödinger é resolvida adequadamente, obtém-se então que $|\vec{L}| = L = \sqrt{l(l+1)}\hbar$; e não $n\hbar$ como Bohr havia proposto no seu modelo semi-clássico.

➤ De forma que o átomo de hidrogênio, quando ele encontra-se no estado p ($l=1$), por exemplo, o seu Momento Angular Orbital L será:

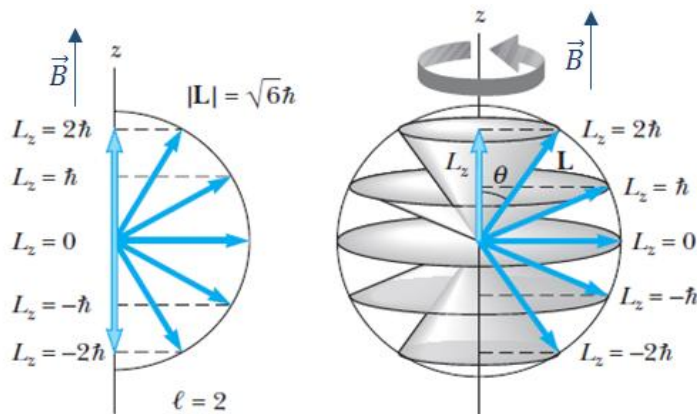
$$\underline{\underline{L = \sqrt{2}\hbar = 1,5 \times 10^{-34} \text{ J} \cdot \text{s}}}$$

➤ Com relação ao *número quântico magnético* (m_l), ele indica de que forma o momento angular L encontra-se alinhado em relação a uma dada direção no espaço (eixo z , no referencial do laboratório). Tem-se, conseqüentemente, o *Momento de Dipolo Magnético* ($\vec{\mu} = I\vec{A}$) correspondente (associado à “*espira de corrente*” eletrônica).

➤ Ou seja, se um campo magnético (de fraca intensidade), for aplicado (e definido desta forma, “por convenção”, o eixo z do laboratório), então m_l fornecerá a **projeção de \vec{L}** nesta direção:

$$\boxed{L_z = m_l \hbar}$$

➤ Na figura abaixo, é possível visualizar os possíveis valores de L_z , relacionados com os valores de $m_l = -l, \dots, 0, \dots, +l$ (como já vimos antes), para $l = 2$:



como vemos, para $l = 2$:

m_l	L_z
-2	-2 ħ
-1	-ħ
0	0
1	ħ
2	2ħ

- Note da figura anterior que o momento angular orbital \vec{L} nunca se alinha (paralela ou antiparalelamente) com o \vec{B}_{ext} (eixo z), de forma que L_z será sempre menor que $|\vec{L}|$
- Veja também que o ângulo θ encontra-se igualmente quantizado, sendo dado por:

$$\cos \theta = \frac{L_z}{|\vec{L}|} = \frac{m_l}{\sqrt{l(l+1)}}$$

- É importante observar que o fato de L_z ser menor que $|\vec{L}|$ deve-se ao *princípio de incerteza* que impõe a não possibilidade do elétron movimentar-se em um plano bem definido.
- Isto porque, caso o movimento estivesse exatamente em um plano (xy , por exemplo, de forma que $\Delta z = 0$), então \vec{L} estaria consequentemente na direção z e $\Delta p_z = 0$, tal que $\Delta z \Delta p_z = 0$ ($p_z = mv_z$), violando o princípio da incerteza: $\Delta z \Delta p_z \geq 0$.
- Ou seja, o vetor momento angular \vec{L} não pode apontar em uma direção bem definida, mas sim descreve um cone no espaço (\vec{L} como que precessa em torno do eixo z – veja figura anterior)
- De maneira que somente o módulo de \vec{L} e a sua componente L_z é que podem ter seus valores conhecidos: as outras componentes (L_x e L_y) não podem ser especificadas.
- Interessante notar ainda que os *valores médios* de L_x e L_y são nulos (pois \vec{L} muda continuamente), enquanto que $\langle L_z \rangle = m_l \hbar$.

- **Exemplo:** Considere um átomo de hidrogênio em um estado $l = 3$. Calcule $|\vec{L}|$ correspondente e os valores permitidos de L_z e θ (em graus).

Resolução: Como vimos:

$$\left\{ \begin{array}{l} |\vec{L}| = L = \sqrt{l(l+1)}\hbar \Rightarrow L = 2\sqrt{3}\hbar \\ \text{Valores de } L_z = m_l \hbar; \quad m_l = -l, -l+1, \dots, 0, \dots, l-1, l \\ \quad \therefore L_z = -3\hbar, -2\hbar, -\hbar, 0, \hbar, 2\hbar, 3\hbar \\ \cos \theta = \frac{m_l}{\sqrt{l(l+1)}} = \pm 0,866; \pm 0,577; \pm 0,289; 0 \end{array} \right.$$

$\theta = 30^\circ; 54,8^\circ; 73,2^\circ; 90^\circ; 107^\circ; 125^\circ; 150^\circ$

Spin do elétron

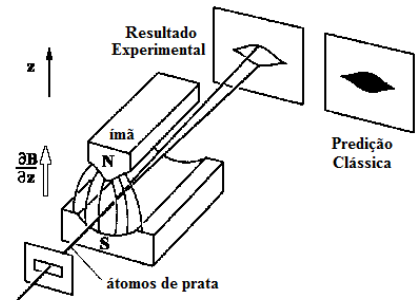
➤ Como vimos, a existência do *spin* eletrônico (que não resulta da equação de Schrödinger) foi proposta na tentativa de explicar o dubleto do sódio e os resultados obtidos na experiência de Stern-Gerlach (disparando átomos neutros de prata ($l = 0$) através de um campo magnético não-uniforme).

➤ Pela Mecânica Clássica, o momento de dipolo magnético atômico (orbital) na direção do eixo z (μ_z) pode assumir qualquer valor; e como $\vec{\tau} = \vec{\mu} \times \vec{B}$ então deveria se esperar impactos no anteparo formando uma mancha (distribuição) contínua.

➤ Pela Mecânica Quântica, uma distribuição contínua só deveria acontecer para átomos com $l = 0$ (que era o caso dos átomos neutros de prata).

➤ Experimentalmente, porém, duas franjas bem definidas foram observadas no anteparo! Daí a necessidade de se adotar o número quântico de spin $m_s = \pm 1/2$ (para cima / para baixo).

➤ Quem estabeleceu a relação deste número quântico com a grandeza física *Momento Angular Quantizado de Spin* \vec{S} foi *Paul Dirac*, em 1929.



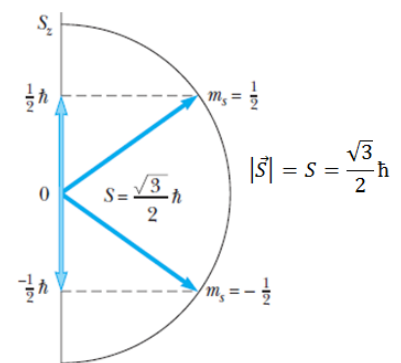
➤ Em analogia com o momento angular orbital, tem-se que: $|\vec{S}| = S = \sqrt{s(s+1)}\hbar$;

sendo que $s = 1/2$, sempre!

➤ Assim, a componente (projeção) do vetor momento angular de spin na direção do eixo z (referencial do laboratório) poderá assumir apenas dois valores: $+1/2\hbar$ e $-1/2\hbar$.

$$\therefore S_z = m_s \hbar = \pm \frac{1}{2} \hbar$$

analogamente a $L_z = m_l \hbar$



➤ Pode ser demonstrado que o *momento de dipolo magnético de spin* do elétron ($\vec{\mu}_s$) está relacionado com o *momento angular de spin* (\vec{S}) pela equação:

$$\vec{\mu}_s = -\frac{e}{m} \vec{S}$$

➤ Como a componente $S_z = \pm \hbar / 2$, então a componente μ_s do momento de dipolo magnético de spin poderá ter os valores:

$$\mu_{sz} = \pm \frac{e\hbar}{2m} = \pm 9,27 \times 10^{-24} \text{ J/T} \equiv \text{Magneton de Bohr } (\mu_B)$$

➤ **Exercício 18 – Capítulo 29:**

- a) Encontre a densidade de massa de um próton imaginando-o como uma esfera maciça de $r = 10^{-15} \text{ m}$.
- b) Considere um modelo clássico para o elétron considerando-o uma esfera maciça com a mesma densidade de massa do próton e encontre o seu raio.
- c) Imagine que este elétron possui momento angular de spin $S = I\omega = \hbar/2$, devido à rotação clássica em torno do seu eixo z e determine a velocidade de um ponto situado no equador do elétron, comparando-a com a velocidade da luz. Dado:

$$m_p = 1,67 \times 10^{-27} \text{ kg}, m_e = 9,1 \times 10^{-31} \text{ kg} \text{ e } I_{\text{esfera}} = \frac{2}{5} mr^2.$$

Resolução:

a)
$$\rho_p = \frac{m_p}{V_p} = \frac{1,67 \times 10^{-27}}{(4/3\pi)(10^{-15})^3} \Rightarrow \rho_p = 4 \times 10^{17} \text{ kg/m}^2$$

b)
$$\rho_e = \rho_p = \frac{m_e}{(4/3\pi)r_e^3} \Rightarrow r_e^3 = \frac{9,1 \times 10^{-31}}{(4/3\pi)(4 \times 10^{17})} \Rightarrow r_e = 8,4 \times 10^{-17} \text{ m}$$

c)
$$I_{\text{esfera}} = \frac{2}{5} mr^2 \Rightarrow I_e = \left(\frac{2}{5}\right)(9,1 \times 10^{-31})(8,4 \times 10^{-17})^2 = 2,5 \times 10^{-63} \text{ kg} \cdot \text{m}^2$$

$$S = I\omega = \frac{\hbar}{2} \Rightarrow \omega_e = \frac{\hbar}{2I_e} = \frac{v_e}{r_e} \Rightarrow v_e = \frac{(8,4 \times 10^{-17})(6,6 \times 10^{-34})}{(4\pi)(2,5 \times 10^{-63})} \Rightarrow$$

$$\Rightarrow \underline{v_{\text{equador}} = 1,8 \times 10^{12} \text{ m/s}}$$

6.000 vezes maior que a velocidade da luz!!